



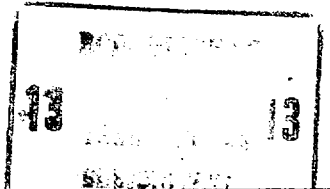
СОЮЗ СОВЕТСКИХ
СОЦИАЛИСТИЧЕСКИХ
РЕСПУБЛИК

(19) SU (11) 1096761 A

з (50) Н 04 L 27/22

ГОСУДАРСТВЕННЫЙ КОМИТЕТ СССР
ПО ДЕЛАМ ИЗОБРЕТЕНИЙ И ОТКРЫТИЙ

ОПИСАНИЕ ИЗОБРЕТЕНИЯ К АВТОРСКОМУ СВИДЕТЕЛЬСТВУ



(21) 3339759/18-09

(22) 18.09.81

(46) 07.06.84. Бюл. № 21

(72) М.Ю.Хоменок

(71) Минский радиотехнический институт

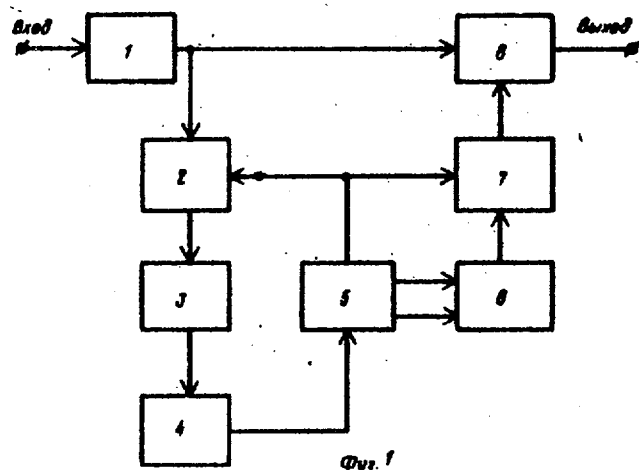
(53) 621.394.6(088.8)

(56) 1. Екимов В.Д., Павлов К.М.
Радиоприемные устройства. М., "Связь"
1975, с. 445.

2. Гуров В.С. и др. Передача
дискретной информации и телеграфия.
М., "Связь", 1974, с. 260 (прототип).

○ (54)(57) ПРИЕМНИК ФАЗОМАНИПУЛИРОВАННЫХ СИГНАЛОВ С ОДНОЙ БОКОВОЙ ПОЛОСОЙ,
содержащий последовательно соединенные
входной полосовой фильтр и фазо-

вый детектор, а также последовательно
соединенные дополняющий фильтр и блок
синхронизации, отличающиеся
тем, что, с целью повышения помехоустойчивости, между выходом входного
полосового фильтра и выходом дополняющего фильтра включены последовательно первый смеситель, другой
вход которого подключен к выходу несущей блока синхронизации и диф-
ференцирующая цепь, а между тактовым
выходом блока синхронизации и другим
входом фазового детектора включены
последовательно второй и третий смесители,
другие входы которых подключены к выходам полутактовой и несущей
частот блока синхронизации соответственно.



SU 1096761 A

Изобретение относится к технике связи и может быть использовано в устройствах приема сигналов с фазовой манипуляцией на 180° с одной боковой полосой в радиосвязи, радиолокации и при радиоизмерениях.

Известен приемник фазоманипулированных сигналов с одной боковой полосой, содержащий фильтр одной боковой полосы, выход которого подключен к первому входу синхронного детектора и через узкополосный фильтр к второму входу синхронного детектора [1].

Указанный приемник характеризуется недостаточной помехоустойчивостью, так как часть полосы частот и мощность канала отводятся для передачи синхроинформации.

Наиболее близким по технической сущности к предлагаемому является приемник фазоманипулированных сигналов с одной боковой полосой, содержащий последовательно соединенные входной полосовой фильтр и фазовый детектор, а также последовательно соединенные дополняющий фильтр и блок синхронизации [2].

Известный приемник также не обеспечивает высокой помехоустойчивости, особенностями при передаче информации по частотно-ограниченному каналу.

Цель изобретения - повышение помехоустойчивости приема фазоманипулированных сигналов с одной боковой полосой.

Для достижения поставленной цели в приемнике фазоманипулированных сигналов с одной боковой полосой, содержащем последовательно соединенные входной полосовой фильтр и фазовый детектор, а также последовательно соединенные дополняющий фильтр и блок синхронизации, между выходом входного полосового фильтра и входом дополняющего фильтра включены последовательно первый смеситель, другой вход которого подключен к выходу несущей блока синхронизации, и дифференцирующая цепь, а между тактовым выходом блока синхронизации и другим входом фазового детектора включены последовательно второй и третий смесители, другие входы которых подключены к выходам полутактовой и несущей частот блока синхронизации соответственно.

На фиг.1 изображена структурная схема предлагаемого приемника, на фиг.2 -

спектральные диаграммы, отображающие процесс обработки сигнала в приемнике.

Приемник фазоманипулированных сигналов с одной боковой полосой содержит полосовой фильтр 1, первый смеситель 2, дифференцирующую цепь 3, дополняющий фильтр 4, блок 5 синхронизации, второй смеситель 6, третий смеситель 7 и фазовый детектор 8.

Приемник работает следующим образом.

На вход полосового фильтра 1 поступает сигнал $A(t)\cos[2\pi f_H t + \Phi(t) + \Phi_0]$ с манипуляцией фазы на 180° , т.е. $\Phi(t) \in [0, \pi]$, и с модуляцией амплитуды на длине тактowego интервала $[0, T]$ по синусоидальному закону с частотой, равной половине тактовой частоты, т.е. $A(t) = \sin(\pi f_T t + \Phi(t))$, спектр которого ограничен одной боковой полосой (ОБП), где f_H, Φ_H - несущая частота и начальная фаза входного фазоманипулированного сигнала, соответственно; f_T, Φ_T - частота и начальная фаза сигнала на тактовой частоте, соответственно; T - длина такта или длительность информационной посылки манипулирующей последовательности.

С выхода полосового фильтра 1 сигнал (фиг.2а) поступает на первый вход первого смесителя 2, на второй вход которого поступает сигнал $\cos(2\pi f_{\text{оп}} t + \Phi_{\text{оп}})$ с выхода несущей частоты блока 5 синхронизации (фиг.2б). Значение несущей частоты $f_{\text{оп}}$ фазоманипулированного сигнала ОБП на выходе первого смесителя 2 принимается численно равным половине тактовой частоты манипулирующей после довательности $f_{\text{оп}} = 0,5 f_T$ (фиг.2в). При этом все гармоники спектра сигнала ОБП получают дополнительный фазовый сдвиг ($\Phi_{\text{оп}}$), определяемый начальной фазой $\Phi_{\text{оп}}$ опорного колебания на частоте $f_{\text{оп}}$.

На выходе дифференцирующей цепи 3 формируется двухполосный фазоманипулированный сигнал с прямоугольной манипулирующей посылкой на несущей частоте, численно равной тактовой, начальная фаза которой равна $(\Phi_H + \Phi_T(2 - \Phi_{\text{оп}}))$, т.е. $A'(t)\cos[2\pi(f_H + 0,5f_T)t + \Phi(t) + (\Phi_H + \Phi_T(2 - \Phi_{\text{оп}}))]$, где $A'(t)$ - огибающая двухполосного фазоманипулированного сигнала с прямоугольной манипулирующей посылкой (фиг.2г). Таким образом в приемнике фазоманипулированных сигналов ОБП с полностью подавленной несущей осуществляется симметрирование спектра

относительно частоты $f_H + \frac{1}{2} f_T$ при передаче верхней боковой полосы.

При этом коэффициент передачи дифференцирующей цепи 3 определяется отношением спектральной плотности сигнала ФМ ОБП с прямоугольной огибающей манипулирующей посылки на несущей частоте $(f_H + \frac{1}{2} f_T)$ определенной в полосе $f \in [f_H, f_H + \Delta f]$ и спектральной плотности сигнала ФМ ОБП с конусоидальной огибающей манипулирующей посылки на несущей f_H в той же полосе частот и равен $K(jf) = j2\pi[f_H - (f_H - 0.5f_T)]$, $f \in [f_H, f_H + \Delta f]$.

В общем случае коэффициент передачи дифференцирующей цепи 3 определяется параллельным соединением простейшей дифференцирующей цепочки $j2\pi f$ и преобразователя по Гильберту с коэффициентом передачи $j2\pi(f_H - 0.5f_T)$, однако при $f_H = \frac{1}{2} f_T$ ее структура соответствует дифференцирующей цепи 3.

Таким образом, преобразование несущей частоты фазоманипулированного сигнала ОБП с конусоидальной формой манипулирующей посылки до значения, численно равного половине тактовой частоты, и последующее его дифференцирование позволяют преобразовать его в двухполосный фазоманипулированный сигнал с прямоугольной формой манипулирующей полосы на несущей частоте, значение которой численно равно тактовой частоте. Дополняющий фильтр 4 необходим, если полоса частот канала связи не равна f_T . В этом случае спектр двухполосного фазоманипулированного сигнала, формируемого на выходе дифференцирующей цепи 3, будет несимметричным относительно поднесущей, равной f_T и дополняющий фильтр 4 устраняет квадратурную составляющую сигнала. С выхода дифференцирующей цепи 3 через дополняющий фильтр 4 сигнал поступает на вход блока 5 синхронизации.

В блоке 5 синхронизации известными методами (например схема Сифрова, Костаса и др.) из двухполосного фазоманипулированного сигнала с прямоугольной формой манипулирующей посылки происходит формирование опорного колебания на несущей частоте $f_H' + \frac{1}{2} f_T$ с начальной фазой $(\varphi_H + 0.5\varphi_T - \varphi_{оп})$, т.е.

$$\cos[2\pi(f_H' + 0.5f_T)t + (\varphi_H + 0.5\varphi_T - \varphi_{оп})]$$

и опорного колебания полутактовой частоты $\cos(\pi f_T t + 0.5\varphi_T)$ схемой

тактовой синхронизации (фиг. 2д). Сформированные опорные колебания с выходов полутактовой частоты блока 5 синхронизации поступают соответственно на первый и второй входы второго смесителя 6, на выходе которого выделяется сигнал разностной частоты $\cos(2\pi f_H' t + \varphi_H - \varphi_{оп})$ (фиг. 2е). Сигнал с выхода второго смесителя 6 поступает на первый вход третьего смесителя 7, на второй вход которого поступает опорное колебание несущей частоты $\cos(2\pi f_{оп}t + \varphi_{оп})$ с выхода несущей блока 5 синхронизации. На выходе третьего смесителя 7 при этом формируется опорное колебание, когерентное с несущей частотой входного фазоманипулированного сигнала с ОБП, т.е. $\cos(2\pi f_H t + \varphi_H)$ (фиг. 2е).

После перемножения входного фазоманипулированного сигнала ОБП и опорного, сформированного третьим смесителем 7, на выходе фазового детектора 8 формируется информационная последовательность конусоидальных импульсов (фиг. 2ж).

Структура блока 5 синхронизации в зависимости от стабильности несущей частоты входного сигнала ФМ ОБП может быть реализована согласно двум функциональным схемам. В первом случае при высокой стабильности несущей частоты структура блока 5 синхронизации включает опорный высокостабильный несинхронизуемый гетеродин с частотой $f_{оп} = f_H - 0.5f_T$ и с начальной фазой $\varphi_{оп}$ и схемы формирования когерентных поднесущих колебания и тактовой частоты из фазоманипулированного сигнала с двумя боковыми полосами на тактовой несущей.

При частотной нестабильности несущей входного сигнала ФМ ОБП блок 5 синхронизации может быть реализован по схеме, которая включает схему синхронизации по несущей, например, выполненную по схеме Сифрова и схему синхронизации по тактовой частоте, например, выполненную по схеме перемножения двух тактовых информационных последовательностей, сдвинутых друг относительно друга на полтакта.

Повышение помехоустойчивости в предлагаемом приемнике в сравнении с известным объясняется следующим образом.

В схеме известного устройства часть Δf_1 полосы пропускания ка-

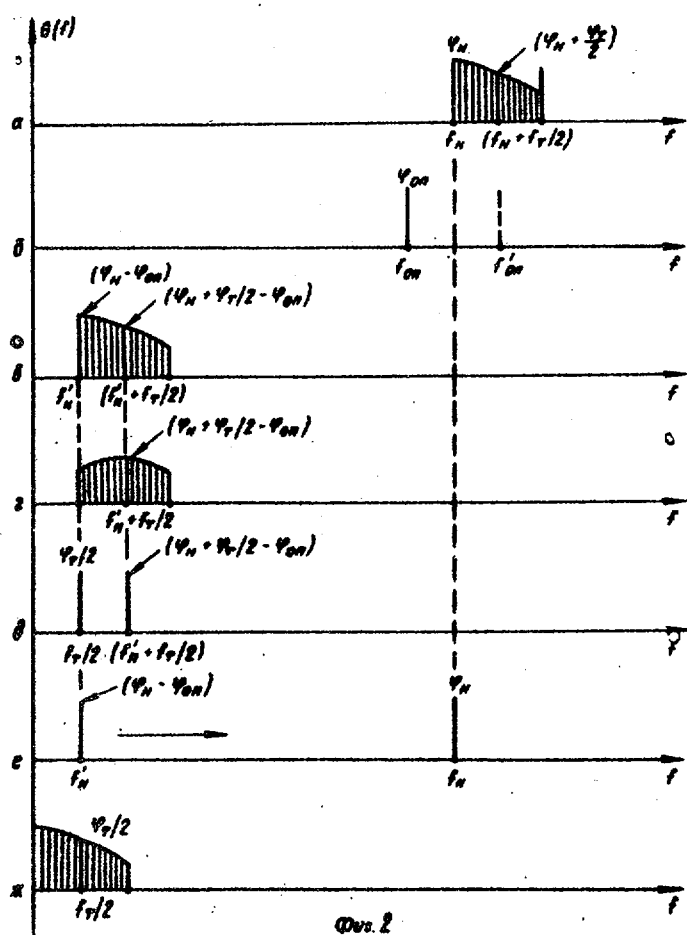
нала отводится для передачи синхро-
информации и лишь оставшаяся часть
 Δf_2 используется для передачи
информации.

В предлагаемом устройстве канал
синхронизации образуется путем
непосредственной обработки инфор-
мационного сигнала. Следовательно,
в этом случае вся полоса пропускания
канала используется для передачи
информации. Поскольку энергия по-
сылки, передаваемая в полосе, Δf
будет больше, чем энергия посылки
в полосе Δf_2 (так как $\Delta f = \Delta f_1 + \Delta f_2$),
то помехоустойчивость приема одиноч-
ных импульсов, определяемая отно-
шением энергии сигнала к спектраль-
ной мощности шума, будет выше в пред-
лагаемом устройстве, чем в известном.

В предлагаемом устройстве снижа-
ется также влияние межсимвольной
интерференции, приводящей к увели-
чению вероятности ошибки. Это

объясняется тем, что длительность
переходных процессов Δt , являющихся
функцией, обратно пропорциональ-
ной ширине полосы пропускания канала
 $(\Delta t \sim 1/\Delta f)$, уменьшается в предлагае-
мом устройстве путем расширения ин-
формационной полосы пропускания канала.

Третьим фактором, определяющим
повышение помехоустойчивости, явля-
ется формирование сигнала, когерент-
ного с сигналом несущей частоты,
в предлагаемой схеме из сигнала с
большей энергией, что уменьшит влия-
ние канала синхронизации на вероят-
ность ошибки. После прохождения до-
полняющего фильтра 4 формируется
двухполосный сигнал в полосе Δf ,
а в известном устройстве в полосе
 Δf_1 , где размещается лишь часть
спектральных составляющих входного
фазоманипулированного сигнала.



Фиг. 2